

УДК 535.42:681.786

## ФОРМИРОВАНИЕ В КОГЕРЕНТНОМ СВЕТЕ ИЗОБРАЖЕНИЯ ПРОТЯЖЁННОГО ЩЕЛЕВОГО ОТВЕРСТИЯ СИММЕТРИЧНОГО ТИПА С АБСОЛЮТНО ПОГЛОЩАЮЩИМИ ВНУТРЕННИМИ ГРАНЯМИ

© Ю. В. Чугуй

*Конструкторско-технологический институт научного приборостроения СО РАН,  
630058, г. Новосибирск, ул. Русская, 41  
E-mail: chugui@tdisie.nsc.ru*

Исследованы особенности формирования изображений внешних граней протяжённых (по глубине) щелевых отверстий постоянной толщины  $d$  симметричного типа (с равными входной и выходной апертурами  $D$ ) с абсолютно поглощающими внутренними гранями. В основу расчётов положена оптико-физическая модель дифракционных явлений на протяжённых абсолютно поглощающих объектах с использованием эквивалентных транспарантов щелевого типа. Изучены структуры изображений таких объектов, формируемых в идеальных и дифракционно-ограниченных системах. Показано, что профили изображений передней и задней граней протяжённого щелевого отверстия в значительной степени зависят от параметра  $N$ , равного отношению критического угла дифракции  $\theta_{кр} = \sqrt{\lambda/d}$  к половинному угловому размеру  $\theta_0$  апертурного фильтра, а также от отношения апертуры щели  $D$  к размеру зоны Френеля  $\delta_d = \sqrt{\lambda d}$ . Установлено, что при  $N = \theta_{кр}/\theta_0 \gg 1$  (глубина резкости системы  $\Delta z = \lambda/\theta_0^2 \gg d$ ) имеет место смещение геометрических границ объекта в его изображении, которое определяется как взаимодействием дифракционных картин двух краёв для случая плоской щели ( $d = 0$ ), так и влиянием вторичной дифракции света на задней грани протяжённого объекта. Показано, что при  $D \gg \sqrt{\lambda d}$  смещение границ в основном обусловлено вторичной дифракцией света, что, в свою очередь, приводит к систематической погрешности измерения апертуры  $D$ , равной  $\varepsilon_d = 0,22\delta_d$ . Исследованы особенности формирования дифракционно-ограниченных изображений задней грани при сильных объёмных эффектах ( $N \ll 1$ ). Изучена структура полей в изображениях граней канального отверстия ( $D \ll \sqrt{\lambda d}$ ).

*Ключевые слова:* дифракция Френеля и Фраунгофера, фурье-оптика, спектры протяжённых объектов, объёмное щелевое отверстие, оптический размерный контроль.

DOI: 10.15372/AUT20220313

**Введение.** При разработке когерентно-оптических систем для бесконтактного контроля протяжённых (по глубине) пластин постоянной толщины с плоскими внутренними гранями возникает потребность в создании теории формирования их дифракционных картин Фраунгофера и изображений. Теория должна адекватно описывать наблюдаемые в экспериментах физические явления дифракции света на объектах и позволять восстанавливать с высокой точностью их геометрические характеристики. Так как существующая скалярная теория Кирхгофа — Френеля справедлива лишь для одномерных и двумерных (плоских) объектов [1, 2], а строгие [1, 3–5] и приближённые [6, 7] теории для расчёта дифракционных явлений на таких объектах чрезвычайно сложны в их применении на практике, то с этой целью была разработана конструктивная теория дифракционных явлений на объёмных телах, основанная на модели эквивалентных диафрагм [8, 9]. В отличие от известных она сравнительно простая (в математическом отношении), физически наглядная и в то же время достаточно точная. Крайне важно, что теория позволяет при расчётах полей применять приближение Кирхгофа — Френеля [1, 2] и хорошо согласуется с полученными экспериментальными данными [8–13].

В [8, 14] исследованы особенности формирования дифракционных полей в дальней зоне (спектров) и изображений пластин асимметричного типа с абсолютно поглощающими внутренними гранями. Случаи формирования дифракционных картин и изображений металлических пластин с абсолютно отражающими внутренними гранями симметричного и несимметричного типов изучены в [12, 15]. Дифракционные явления на протяжённой асимметричной щели с абсолютно поглощающими внутренними гранями рассмотрены в [16].

Цель данной работы — изучение особенностей формирования изображений внешних граней протяжённых объектов симметричного типа в виде щелевых отверстий, у которых входная и выходная апертуры (будучи центрированными) имеют одинаковые размеры. Существенно, что внутренние грани объектов являются абсолютно поглощающими. При расчётах использовалась предложенная нами оптико-физическая модель дифракционных явлений на протяжённых объектах постоянной толщины на основе эквивалентных транспарантов, отстоящих друг от друга на расстоянии, равном толщине объекта. Исследованы случаи формирования изображений внешних граней канальных отверстий.

**Оптико-физическая модель щелевого протяжённого симметричного отверстия с абсолютно поглощающими внутренними гранями.** Исследованию подлежало щелевое отверстие (объёмная щель) глубиной  $d$  с одинаковыми апертурами  $D$  внешних передней (входной) и задней (выходной) граней, перпендикулярных оптической оси  $z$  (рис. 1). Рассмотрим случай объекта центрированного типа, у которого центры передней и задней апертур совпадают с оптической осью. При этом внутренние грани отверстия, будучи плоскими, полностью поглощают падающие на них дифрагированные волны, и таким образом получаем абсолютно поглощающее (чёрное) тело.

Ограничимся далее одномерными по  $x$  и протяжёнными по  $z$  отверстиями (объёмными щелями (рис. 1, *a*) размерностью  $x \times z$ ). Ввиду сложности строгого расчёта дифракционных явлений на таком протяжённом объекте в [8, 9] предложен конструктивный подход решения задачи на основе оптико-физической модели объекта в виде эквивалентных транспарантов (ЭТ). Согласно этой модели считается, что основной вклад в поле в дальней зоне вносит дифракция света на передней и задней гранях объекта. При этом

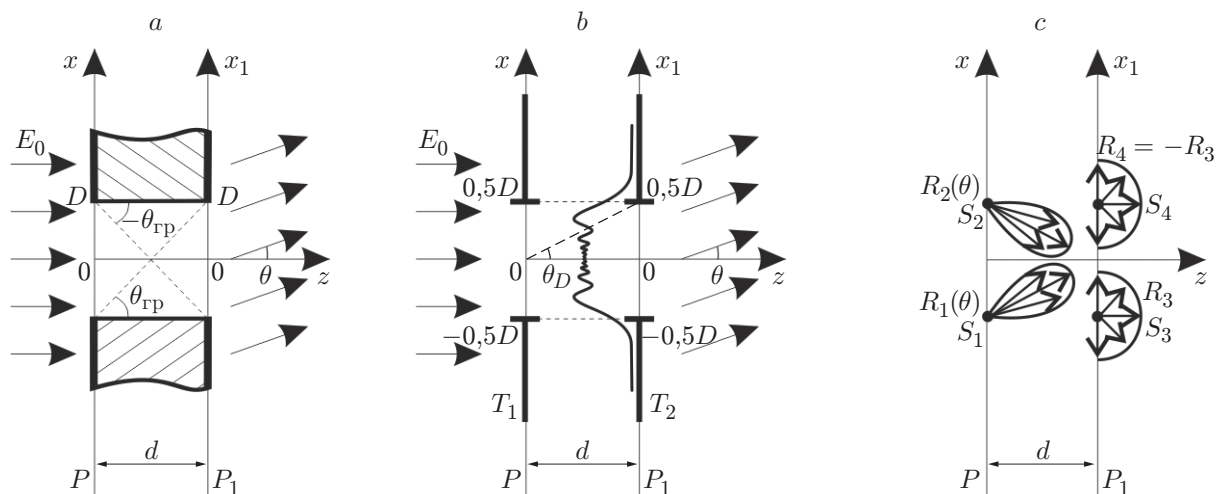


Рис. 1. Формирование поля  $F(\theta)$  протяжённого объекта в дальней зоне: сечение объекта (*a*), его модель в виде эквивалентных транспарантов (*b*) и дифракционная модель формирования  $F(\theta)$  в виде обобщённых первичных источников  $S_1, S_2$  и вторичных  $S_3, S_4$  (*c*)

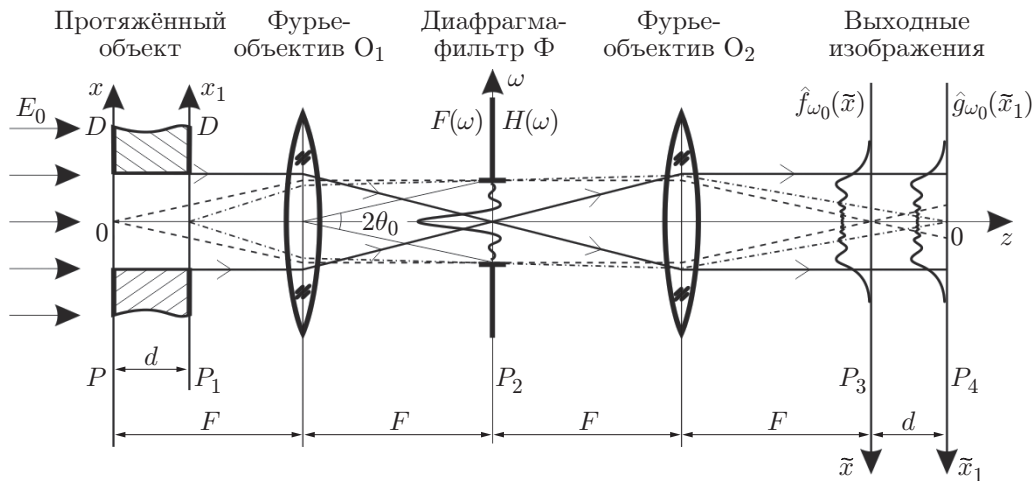


Рис. 2. Схема когерентно-оптической системы  $4F$  для формирования изображений внешних передней (плоскость  $P_3$ ) и задней ( $P_4$ ) граней протяжённого щелевого отверстия

предполагается, что влияние внутренней грани на это поле пренебрежимо мало. Проведённые экспериментальные исследования, как уже отмечалось, подтвердили справедливость предложенной модели [8–13]. Она включает два одинаковых транспаранта  $T_1$  и  $T_2$  в виде щелей одинаковой ширины  $D$ , установленных на расстоянии  $d$  друг от друга (рис. 1, б). Расчёт дифракционных явлений на такой структуре может быть выполнен в рамках скалярной теории Кирхгофа — Френеля [1, 2]. Амплитудные коэффициенты пропускания этих транспарантов можно описать граничными функциями  $f^{\text{ГП}}(x)$  и  $g^{\text{ГП}}(x_1)$ , характеризующими оптические свойства отверстия с абсолютно поглощающими внутренними границами:

$$f^{\text{ГП}}(x) = \text{Rect}(x/D), \quad (1)$$

$$g^{\text{ГП}}(x_1) = \text{Rect}(x_1/D). \quad (2)$$

Разместим исследуемый протяжённый объект на входе стандартной когерентно-оптической проекционной системы  $4F$  для формирования (низкочастотной фильтрации) изображений объектов на базе двух фурье-звеньев (рис. 2) [2]. Исходный объект освещается плоской монохроматической волной света с длиной волны  $\lambda$  и амплитудой  $E_0$ . Он устанавливается таким образом, чтобы его передняя грань (плоскость  $P_1$ ) отстояла на фокусном расстоянии  $F$  от объектива  $O_1$ . Этим объективом в результате прямого преобразования Фурье в задней фокальной плоскости  $P_2$  формируется дифракционная картина Фраунгофера в виде спектра  $F(\omega)$  пространственных частот  $\omega$ , которая соответствует полю, наблюдаемому в дальней зоне (дифракционная картина Фраунгофера). Полученное поле  $F(\omega)$  фильтруется апертурной диафрагмой (фильтром) с шириной полосы пропускаемых частот  $2\omega_0 = 2k \sin \theta_0$ , где  $2\theta_0$  — угловой размер фильтра, а  $k = 2\pi/\lambda$ . Результирующее распределение далее объективом  $O_2$  подвергается обратному преобразованию Фурье, в результате которого в задней фокальной плоскости  $P_3$  объектива  $O_2$  формируется отфильтрованное изображение передней грани объёмного края протяжённой пластины, а в плоскости  $P_4$  — изображение её задней грани, расположенной в плоскости  $P_1$ . Отметим, что в силу объёмных свойств объекта поле в изображении его передней грани даже при отсутствии фильтра пространственных частот может заметно отличаться от исходного входного распределения  $f^{\text{ГП}}(x)$ , задаваемого формулой (1).

Далее представлены два случая формирования изображения объёмной щели: идеальный, когда система является безабберационной и дифракционно-неограниченной (апертурная диафрагма отсутствует), и реальный, когда система, будучи безабберационной, относится к классу дифракционно-ограниченных. Существенно, что результаты, полученные в первом случае, будут использованы при исследовании структуры дифракционно-ограниченных изображений объёмных отверстий.

**Дифракционно-неограниченное формирование изображений граней протяжённого щелевого отверстия.** При получении полей в плоскостях изображений граней в идеальной системе воспользуемся полученной в [8, 9] формулой для спектра протяжённого отверстия:

$$\begin{aligned} F(\omega) &= E_0 e^{j\omega^2 d/2k} \int_{-\infty}^{+\infty} \widetilde{\text{Rect}}_d \left( \frac{x_1}{D} \right) \text{Rect} \left( \frac{x_1}{D} \right) e^{-j\omega x_1} dx_1 = \\ &= \int_{-\infty}^{+\infty} \text{Rect} \left( \frac{x}{D} \right) \widetilde{\text{Rect}}_d \left( \frac{x + \omega d/k}{D} \right) e^{-j\omega x} dx, \end{aligned} \quad (3)$$

где  $\widetilde{\text{Rect}}_d \left( \frac{t}{D} \right) = \frac{1}{j\lambda d} \int_{-\infty}^{+\infty} \text{Rect} \left( \frac{x}{D} \right) e^{-jk(x-t)^2/(2d)} dx$  — френелевский образ прямоугольной

функции  $\text{Rect}(x/D)$ , формируемый в плоскости  $P_1$ . Отметим, что спектр  $F(\omega)$  согласно (3) может быть вычислен двояким образом: путём интегрирования полей по координате  $x_1$  (плоскость  $P_1$ ) или по координате  $x$  (плоскость  $P$ ).

Имея в распоряжении спектр  $F(\omega)$ , нетрудно перейти к его нормированному на  $E_0$  изображению  $\hat{f}(\tilde{x})$ , формируемому в плоскости  $P_3$ . Для этого необходимо выполнить обратное преобразование Фурье спектра  $F(\omega)$ :

$$\hat{f}(\tilde{x}) = \frac{1}{2\pi} \int_{-\infty}^{+\infty} F(\omega) e^{j\omega \tilde{x}} d\omega = \frac{1}{2\pi} \int_{-\infty}^{+\infty} \int_{-\infty}^{+\infty} \text{Rect} \left( \frac{x}{D} \right) \widetilde{\text{Rect}}_d \left( \frac{x + \omega d/k}{D} \right) e^{j\omega(\tilde{x}-x)} dx d\omega. \quad (4)$$

Здесь и далее спектр нормирован на  $E_0$ .

Выполним интегрирование по  $\omega$ , сделав предварительную замену переменных  $x + \omega d/k = \xi$ . При этом воспользуемся известной формулой для спектра  $T(w)$  френелевского образа  $\widetilde{\text{Rect}}_d(\xi/D)$  функции  $\text{Rect}(x/D)$ , согласно которой он равен произведению спектров функций  $\text{Rect}(\xi/D)$  и  $e^{jk\xi^2/2d}$  [17]:

$$T(w) = \mathfrak{F} \{ \widetilde{\text{Rect}}_d(\xi/D) \} = (j\lambda d)^{-1/2} \mathfrak{F} \{ \text{Rect}(\xi/D) \otimes e^{jk\xi^2/2d} \} = \frac{2 \sin(wD/2)}{w} e^{-jw^2 d/2k},$$

где  $\mathfrak{F} \{ \cdot \}$  — оператор прямого преобразования Фурье,  $\otimes$  — символ свёртки, а  $w = (\tilde{x} - x)k/d$ . В результате для поля  $\hat{f}(\tilde{x})$  в плоскости  $P_3$ , сопряжённой с плоскостью  $P$ , получим

$$\hat{f}(\tilde{x}) = e^{-jk\tilde{x}^2/2d} \int_{-\infty}^{+\infty} \text{Rect} \left( \frac{x}{D} \right) \frac{\sin[\omega_D(\tilde{x} - x)]}{\pi(\tilde{x} - x)} e^{jkx^2/2d} dx, \quad (5)$$

где  $\omega_D = k \sin \theta_D$ , угол  $\theta_D = \arctg(D/2d)$  (см. рис. 1, b).

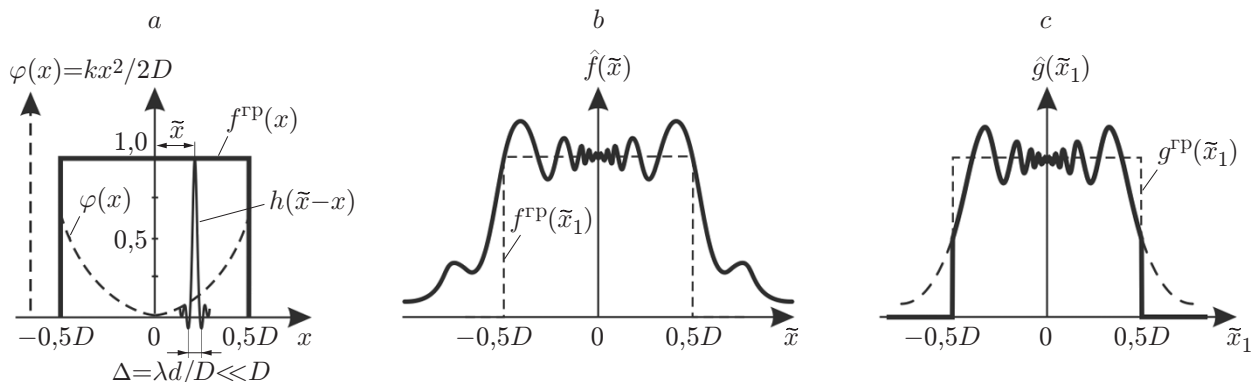


Рис. 3. Поля в изображениях граней объёмного абсолютно поглощающего симметричного отверстия в дифракционно-неограниченной оптической системе: принцип формирования поля в изображении передней грани (а), профили полей  $\hat{f}(\tilde{x})$  и  $\hat{g}(\tilde{x}_1)$  в изображениях соответственно передней (b) и задней (c) граней протяжённого объекта

Принцип формирования изображения  $\hat{f}(\tilde{x})$  и типичный профиль его распределения показаны на рис. 3, а, b.

При нахождении поля  $\hat{g}(\tilde{x}_1)$  (нормированного на  $E_0$ ) в плоскости изображения задней грани  $P_4$  учтём, что в идеальной оптической системе оно совпадает с полем в плоскости  $P_1$ , которое является результатом перемножения распределений  $\widetilde{\text{Rect}}_d(\tilde{x}_1/D)$  и  $g(\tilde{x}_1) = \text{Rect}(\tilde{x}_1/D)$  (рис. 3, c):

$$\hat{g}(\tilde{x}_1) = \text{Rect}(\tilde{x}_1/D) \widetilde{\text{Rect}}_d(\tilde{x}_1/D). \quad (6)$$

Полученные формулы (5) и (6) описывают формирование изображений передней и задней граней протяжённого отверстия в дифракционно-неограниченной проекционной системе при любых соотношениях параметров  $D$ ,  $d$  и  $\lambda$ .

Проанализируем формулу (5). Видно, что поле  $\hat{f}(\tilde{x})$  (с точностью до квадратичного фазового множителя  $e^{-jk\tilde{x}^2/2d}$ , независящего от  $x$ ) можно рассматривать как результат свёртки функции  $h(x) = \sin(\omega_D x)/(\pi x)$  с входным комплексным распределением  $f_{\text{вх}}(x) = e^{jkx^2/2d} \text{Rect}(x/D)$  (рис. 3, а). Если параметр  $\omega_D$  выбрать достаточно большим, при котором функцию  $\sin[\omega_D(\tilde{x} - x)]/(\pi(\tilde{x} - x))$  можно рассматривать как дельта-функцию Дирака  $\delta(\tilde{x} - x)$  [2], то из формулы (5) следует, что выходное поле  $\hat{f}(\tilde{x})$  равно входному распределению  $\text{Rect}(x/D)$ , т. е. в этом случае имеем идеальное проецирование входного плоского объекта.

Очевидно, что влиянием фазового члена  $e^{jkx^2/2d}$  в формуле (5) можно пренебречь в случае, когда изменение фазы в пределах рабочего поля в плоскости  $P$  незначительно, т. е. при  $kx^2/2d \ll 2\pi$  ( $x \ll \sqrt{\lambda d}$ ). А это означает, что входной размер отверстия должен быть много меньше размера зоны Френеля, т. е.  $D \ll \sqrt{\lambda d}$  (условие изопланатизма) (рис. 4, а). В этом случае формула (5) принимает следующий вид:

$$\hat{f}(\tilde{x}) = e^{-jk\tilde{x}^2/2d} \int_{-\infty}^{+\infty} \text{Rect}\left(\frac{x}{D}\right) \frac{\sin[\omega_D(\tilde{x} - x)]}{\pi(\tilde{x} - x)} dx. \quad (7)$$

Полученное выражение описывает формирование изображения передней грани объекта в линейной пространственно-инвариантной системе. Однако это достигается ценой

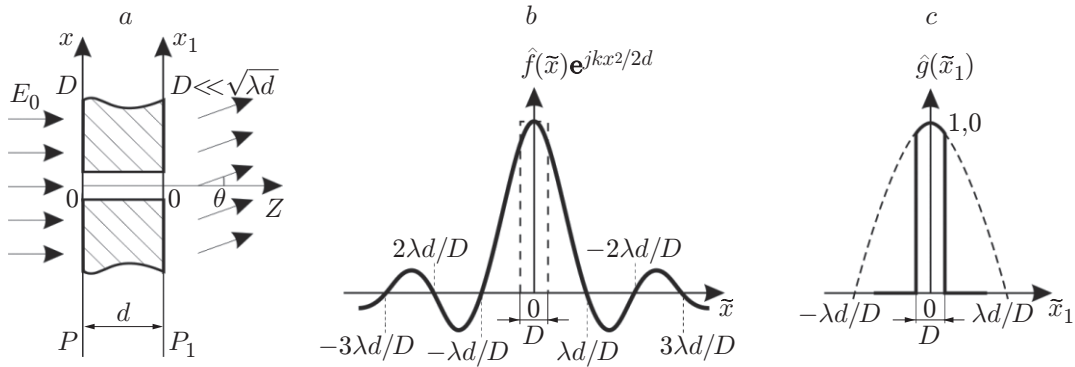


Рис. 4. Формирование изображений граней объёмной симметричной абсолютно поглощающей щели в дифракционно-неограниченной пространственно-инвариантной оптической системе с полем зрения  $D \ll \sqrt{\lambda d}$  (условие изопланатизма): сечение протяжённого отверстия (а), поля в изображениях его передней (b) и задней (c) граней

значительного уменьшения входного поля. Действительно, если, например, выбрать протяжённость объекта  $d = 10$  мм, длину волны света  $\lambda = 0,5$  мкм, то размер зоны Френеля будет равен  $\delta_d = \sqrt{\lambda d} = 71$  мкм. Соответственно размер отверстия  $D$  должен составлять долю от  $\delta_d$ , т. е. быть порядка  $10 \dots 20$  мкм.

При указанных выше условиях нетрудно вычислить поле  $\hat{f}(\tilde{x})$ . Так как  $D \ll \sqrt{\lambda d}$ , то характерный размер функции  $\sin[\omega_D(\tilde{x} - x)]/[\pi(\tilde{x} - x)]$ , равный  $\Delta_D \sim 2\lambda d/D$ , гораздо больше размера  $D$  прямоугольной функции  $\text{Rect}(x/D)$  ( $\Delta_D/D = 2\lambda d/D^2 \gg 1$ ). Очевидно, что в этом случае функцию  $\text{Rect}(\tilde{x}/D)$  можно рассматривать как дельта-функцию по отношению к функции  $\sin[k(\tilde{x} - x)D/2d]/[\pi(\tilde{x} - x)]$ . В результате для распределения  $\hat{f}(\tilde{x})$  согласно (7) получаем (рис. 4, b)

$$\hat{f}(\tilde{x}) = D e^{-jk\tilde{x}^2/2d} \frac{\sin(k\tilde{x}D/2d)}{\pi\tilde{x}}. \quad (8)$$

Исследуемый нами объект можно рассматривать как каналное отверстие, у которого ширина  $D$  много меньше размера зоны Френеля  $\delta_d = \sqrt{\lambda d}$ . Фактически поле  $\hat{f}(\tilde{x})$  описывает дифракцию Фраунгофера на щели (апертуре задней грани) каналного отверстия (рис. 4, b).

Найдём теперь поле  $\hat{g}(\tilde{x}_1)$  в изображении задней грани каналного отверстия, формируемом идеальной оптической системой. Очевидно, что оно будет совпадать с полем  $g(x_1)$  в плоскости  $P_1$  согласно формуле (6). При указанном условии ( $D \ll \sqrt{\lambda d}$ ) френелевский образ  $\widetilde{\text{Rect}}_d(x/D)$  исходной прямоугольной функции  $\text{Rect}(x/D)$  имеет вид дифракционной картины Фраунгофера:

$$\begin{aligned} \widetilde{\text{Rect}}_d(x_1/D) &\approx (j\lambda d)^{-1/2} e^{jkx_1^2/2d} \int_{-\infty}^{+\infty} \text{Rect}(x/D) e^{jkxx_1/d} dx = \\ &= e^{j(kx_1^2/2d - \pi/4)} \frac{D}{\sqrt{\lambda d}} \frac{\sin(kx_1D/2d)}{kx_1D/2d}. \end{aligned} \quad (9)$$

Откуда для поля (6) получаем следующее выражение:

$$\hat{g}(\tilde{x}_1) = \widetilde{\text{Rect}}_d(\tilde{x}_1/D) \text{Rect}(\tilde{x}_1/D) \approx e^{j(k\tilde{x}_1^2/2d - \pi/4)} \frac{D}{\sqrt{\lambda d}} \frac{\sin(k\tilde{x}_1 D/2d)}{k\tilde{x}_1 D/2d} \text{Rect}(\tilde{x}_1/D). \quad (10)$$

Профиль функции  $g(\tilde{x}_1)$  показан на рис. 4, с. Так как размер  $D \ll \sqrt{\lambda d}$ , то функция  $\sin(kx_1 D/2d)/(kx_1 D/2d) \approx 1 - (kx_1 D/2d)^2/6$ . При указанном выше условии второй член разложения этой функции достаточно мал. Так, при  $D/\sqrt{\lambda d} = 0,2$  в точках  $x_1 = \pm 0,5D$  он составляет 0,06 % от основного.

Таким образом, при указанном выше условии в идеальном случае поле в изображении задней грани для канального отверстия с хорошей степенью точности можно описать следующим выражением:

$$\begin{aligned} \hat{g}(\tilde{x}_1) &= \widetilde{\text{Rect}}_d(\tilde{x}_1/D) \text{Rect}(\tilde{x}_1/D) \approx \\ &\approx e^{j(k\tilde{x}_1^2/2d - \pi/4)} \frac{D}{\sqrt{\lambda d}} \left[ 1 - \frac{1}{6} \left( \frac{k\tilde{x}_1 D}{2d} \right)^2 \right] \text{Rect}(\tilde{x}_1/D). \end{aligned} \quad (11)$$

**Формирование дифракционно-ограниченного изображения передней грани объёмной абсолютно поглощающей симметричной щели.** Выполним с использованием спектрального подхода расчёт полей в изображениях внешних граней, формируемых в дифракционно-ограниченной системе. С этой целью обратимся к спектру (дифракционной картине)  $F(\omega)$  исследуемого абсолютно поглощающего протяжённого отверстия, представленному интегралом (3). Согласно проведённым в [16] расчётам для нормированного спектра симметричной протяжённой щели можно получить следующее выражение:

$$\hat{F}(\omega) = \frac{1}{j\omega} \left[ R_1(\omega)^{j\omega D/2} + R_2(\omega)^{-j\omega D/2} + R_3 e^{j\omega^2 d/2k} [e^{j\omega D/2} - e^{-j\omega D/2}] \right], \quad (12)$$

где  $R_1(\omega) = \widetilde{\text{Rect}}_{\omega_{\text{кр}}}[(\omega - 0,5\omega_{\text{гр}})/\omega_{\text{гр}}]$ ,  $\omega_{\text{гр}} = k \sin \theta_{\text{гр}}$ ,  $\theta_{\text{гр}} = \arctg(D/d)$ ,  $R_2(\omega) = -\widetilde{\text{Rect}}_{\omega_{\text{кр}}}[(\omega + 0,5\omega_{\text{гр}})/\omega_{\text{гр}}]$  — неизотропные диаграммы излучения первичных источников, расположенных в точках  $x = \pm 0,5D$  (плоскость  $P$ ), а  $R_3 = \widetilde{\text{Rect}}_d[(x_1 = 0,5D)/D] = -R_4$  — изотропные диаграммы излучения вторичных источников, расположенных в плоскости  $P_1$  в точках с координатами  $x_1 = \pm 0,5D$  (см. рис. 1 и рис. 5, а).

При дальнейших расчётах целесообразно френелевские образы  $\widetilde{\text{Rect}}_{\omega_{\text{кр}}}[(\omega \pm 0,5\omega_{\text{гр}})/\omega_{\text{гр}}]$  выразить через стандартную интегральную функцию Френеля (частотного вида)  $\tilde{Y}_{\omega_{\text{кр}}}(\omega)$  [16], которая является френелевским образом ступенчатой функции Хевисайда  $Y(\omega)$  [2, 17]. Используя очевидную связь между ними, а именно  $\widetilde{\text{Rect}}_{\omega_{\text{кр}}}(\omega) = \tilde{Y}_{\omega_{\text{кр}}}(\omega + 0,5\omega_{\text{гр}}) - \tilde{Y}_{\omega_{\text{кр}}}(\omega - 0,5\omega_{\text{гр}})$ , спектр  $F(\omega)$  можно представить в следующем виде:

$$\begin{aligned} F(\omega) &= \frac{1}{j\omega} \left( [\tilde{Y}_{\omega_{\text{кр}}}(\omega) - \tilde{Y}_{\omega_{\text{кр}}}(\omega - \omega_{\text{гр}})] e^{j\omega D/2} - [\tilde{Y}_{\omega_{\text{кр}}}(\omega + \omega_{\text{гр}}) - \tilde{Y}_{\omega_{\text{кр}}}(\omega)] e^{-j\omega D/2} + \right. \\ &\quad \left. + [\tilde{Y}_d(0) - \tilde{Y}_d(-D)] e^{j\omega^2 d/2} (e^{j\omega D/2} - e^{-j\omega D/2}) \right). \end{aligned} \quad (12a)$$

*Случай слабых объёмных эффектов.* Исследуем поведение поля для объёмного отверстия, когда на его размере  $D$  укладывается много зон Френеля, т. е. при  $D \gg \sqrt{\lambda d}$

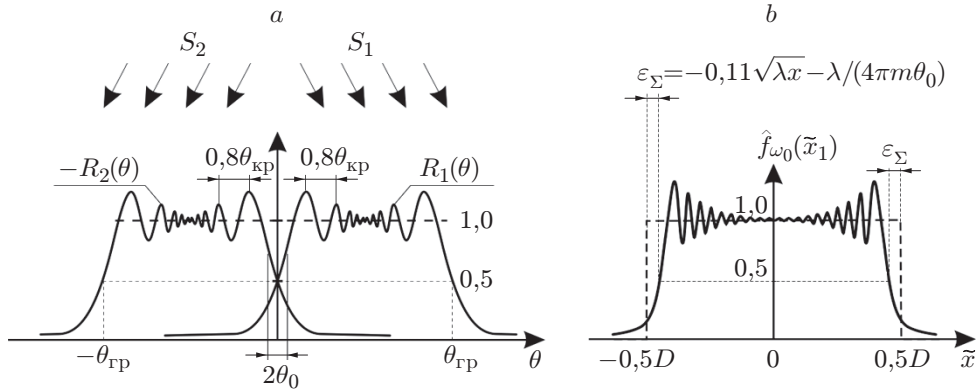


Рис. 5. Формирование изображений граней симметричной абсолютно поглощающей протяжённой щели в дифракционно-ограниченной системе для случая  $D \gg \sqrt{\lambda d}$ : поведение диаграмм излучения  $R_1(\theta)$  и  $-R_2(\theta)$  первичных источников  $S_1$  и  $S_2$  (а), поле  $\hat{f}_{\omega_0}(\tilde{x})$  в изображении передней грани (б) ( $\varepsilon_\Sigma$  — смещение границы в изображении передней грани протяжённого отверстия)

( $M = D/\sqrt{\lambda d} \gg 1$ ), и выберем ширину полосы частот, пропускаемых апертурным фильтром, достаточно узкой:  $\omega_0 \ll \omega_{кр}$  ( $\theta_0 \ll \theta_{кр} = \sqrt{\lambda/d}$ ) (см. рис. 5, а). Параметр  $\theta_{кр}$  характеризует критический угол дифракции, при котором наиболее точно проявляются объёмные эффекты [8, 10]. При этом условии интегральная функция Френеля в области  $|\omega| \leq \omega_0$  допускает линейную аппроксимацию  $\tilde{Y}_{\omega_{кр}}(\omega) = 0,5 + e^{-j\pi/4}\omega/\omega_{кр}$  [10]. В этом случае выражение (12а) приводится к следующему виду:

$$\begin{aligned}
 F(\omega) = & \frac{1}{j\omega} \left\{ \left[ 0,5 + \frac{e^{-j\pi/4}\omega}{\omega_{кр}} + \frac{0,5e^{j(\omega-\omega_{гр})^2 d/2k}}{\pi e^{-j\pi/4}(\omega-\omega_{гр})/\omega_{кр} + \text{sgn}(\omega-\omega_{гр})} \right] e^{j\omega D/2} - \right. \\
 & \left. \left[ 1 - \frac{0,5e^{j(\omega+\omega_{гр})^2 d/2k}}{\pi e^{-j\pi/4}(\omega+\omega_{гр})/\omega_{кр} + \text{sgn}(\omega+\omega_{гр})} - 0,5 - \frac{e^{-j\pi/4}\omega}{\omega_{кр}} \right] e^{-j\omega D/2} + \right. \\
 & \left. + \left( 0,5 - \frac{e^{j\pi/4}e^{jkD^2/2d}\sqrt{\lambda d}}{2\pi D} \right) (e^{j\omega D/2} - e^{-j\omega D/2}) \right\}. \quad (13)
 \end{aligned}$$

Здесь использовалась аппроксимация функции  $\tilde{Y}_d(-D) \approx e^{j\pi/4}e^{jkD^2/2d}\sqrt{\lambda d}/(2\pi D)$  [8, 9]. Заметим, что при  $\omega_0 \ll \omega_{кр}$  фазовый квадратичный множитель  $e^{j\omega^2 d/2k}$  с большой точностью можно считать равным единице. Если учесть далее, что  $\omega_{гр}/\omega_{кр} \gg 1$  при  $D \gg \sqrt{\lambda/d}$  ( $M \gg 1$ ), то выражение (13) можно заметно упростить:

$$F(\omega) = \frac{1}{j\omega} = \left[ 2j \sin(\omega D/2) + \frac{e^{-j\pi/4}e^{j\omega D/2}\omega}{\omega_{кр}} + \frac{e^{-j\pi/4}e^{-j\omega D/2}\omega}{\omega_{кр}} \right]. \quad (14)$$

В результате низкочастотной фильтрации этого распределения фильтром с передаточной функцией  $H(\omega) = \text{Rect}(\omega/2\omega_0)$  для поля в изображении передней грани получим (рис. 5, б)



$$\hat{f}_{\omega_0}(\tilde{x}) = \frac{1}{2\pi} \int_{-\infty}^{+\infty} F(\omega)H(\omega)e^{j\omega\tilde{x}} d\omega = \Phi_{\omega_0}(\tilde{x} + 0,5D) - \Phi_{\omega_0}(\tilde{x} - 0,5D) -$$

$$- \frac{e^{j\pi/4}\sqrt{\lambda d}}{2\pi} \frac{\sin[\omega_0(\tilde{x} - 0,5D)]}{\pi(\tilde{x} - 0,5D)} - \frac{e^{j\pi/4}\sqrt{\lambda d}}{2\pi} \frac{\sin[\omega_0(\tilde{x} + 0,5D)]}{\pi(\tilde{x} + 0,5D)}. \quad (15)$$

В (15) первые два члена  $\Phi_{\omega_0}(\tilde{x} + 0,5D) - \Phi_{\omega_0}(\tilde{x} - 0,5D) = \text{Rect}(\tilde{x}/D) \otimes \sin(\omega_0\tilde{x})/(\pi\tilde{x})$  описывают классическое дифракционно-ограниченное изображение плоской щели ( $d = 0$ ). Третий и четвёртый члены отражают влияние объёмных свойств протяжённой щели. Эта ситуация аналогична случаю изображения симметричного объёмного края [13].

Далее определим положение границ протяжённого отверстия пороговым методом, исходя из полученного изображения объекта. Как известно, в случае изображения полуплоскости амплитуда поля в точке, соответствующей её границе, равна  $0,5E_0$ , а интенсивность —  $0,25E_0^2 = 0,25I_0$ , где  $I_0$  — интенсивность освещающей объект волны [1, 17]. Как показано в [10], для объёмного края объекта с малой глубиной  $d$  амплитуда поля уменьшается на величину, пропорциональную зоне Френеля  $\sqrt{\lambda d}$ . Рассмотрим эту ситуацию для симметричной абсолютно поглощающей щели. Найдём амплитуду поля  $\hat{f}(\tilde{x})$ , например, в точке  $\tilde{x} = -0,5D$ . Из формулы (15) следует, что

$$\hat{f}_{\omega_0}(\tilde{x} = -0,5D) = 0,5 - \Phi_{\omega_0}(-D) - \frac{e^{j\pi/4}\sqrt{\lambda d} \omega_0}{2\pi^2} - \frac{e^{j\pi/4}\sqrt{\lambda d}}{2\pi} \frac{\sin(\omega_0 D)}{\pi D}.$$

Нормированная интенсивность поля в этой точке приближённо равна

$$\hat{I}_{\omega_0}(\tilde{x} = -0,5D) = I_{\omega_0}(\tilde{x} = -0,5D)/I_0 \approx$$

$$\approx 0,25 - \Phi_{\omega_0}(-D) - \frac{\sqrt{\lambda d} \omega_0}{2\sqrt{2}\pi^2} - \frac{\sqrt{\lambda d}}{2\sqrt{2}\pi} \frac{\sin(\omega_0 D)}{\pi D}. \quad (16)$$

Здесь ограничимся членами, дающими основной вклад в интенсивность. Оценим интерференционный член  $\Phi_{\omega_0}(-D)$ . Его можно представить в виде

$$\Phi_{\omega_0}(-D) = \int_{-\infty}^{-D} \frac{\sin(\omega_0 x)}{\pi x} dx = \int_{-\infty}^{-t_0} \frac{\sin t}{\pi t} dt,$$

где  $t_0 = \omega_0 D = 2\pi\theta_0/\theta_D = 2\pi m$ ,  $\theta_D = \lambda/D$  — полуширина основного лепестка функции  $\sin(\omega D)/\omega$ , а  $m = \theta_0/\theta_D$  — число колебаний, укладываемых в пределах половинной угловой апертуры  $\theta_0$ . Используем далее асимптотическое представление функции  $\Phi(-t_0) \approx \approx \cos t_0/(\pi t_0)$ , справедливое при  $t_0 \gg 1$  (его можно получить путём интегрирования  $\Phi_{\omega_0}(-D)$  по частям). С учётом вышеуказанного выражение для интенсивности можно записать в следующем виде:

$$\hat{I}_{\omega_0}(\tilde{x} = -0,5D) \approx 0,25 - \frac{\cos(2\pi m)}{2\pi m} - \frac{\sqrt{\lambda d} \omega_0}{2\sqrt{2}\pi^2} - \frac{\sqrt{\lambda d} \omega_0}{4\pi^3\sqrt{2}m} \sin(2\pi m). \quad (17)$$

Так как максимальное значение последнего члена, обусловленного влиянием соседнего протяжённого края на рассматриваемый объёмный край, меньше третьего члена в  $2\pi m$  раз, то при дальнейших расчётах будем им пренебрегать. Для определения абсолютной погрешности  $\varepsilon_\Sigma$  нахождения положения границы объекта в его изображении, расположенной в точке  $\tilde{x} = -0,5D$ , воспользуемся пороговым алгоритмом, выбрав нормированный порог  $\hat{I}_{\text{пор}} = 0,25$  [13]. Согласно ему погрешность

$$\varepsilon_\Sigma \approx \frac{\pi[I_{\omega_0}(x = -0,5D) - 0,25]}{\omega_0} = -\frac{\lambda}{4\pi m\theta_0} - \frac{\sqrt{\lambda d}}{2\sqrt{2}\pi} = \varepsilon_D + \varepsilon_d, \quad (18)$$

где  $\varepsilon_D = -\lambda/(4\pi m\theta_0)$  — составляющая погрешности, обусловленная взаимодействием дифракционных картин краёв в случае плоского объекта ( $d = 0$ ), а  $\varepsilon_d = -\sqrt{\lambda d}/(2\sqrt{2}\pi) = -\delta_d/(2\sqrt{2}\pi)$  — ранее изученная составляющая погрешности, возникающая вследствие влияния вторичной дифракции света на задней грани объекта (см. рис. 5, *b*). Найдём теперь общую погрешность  $\varepsilon_{\text{общ}}$  определения параметра  $D$  для протяжённой щели. Так как объект состоит из двух протяжённых краёв, то очевидно, что эта погрешность будет в 2 раза больше  $\varepsilon_\Sigma$ , т. е.

$$\varepsilon_{\text{общ}} = 2\varepsilon_\Sigma = -\frac{\lambda}{2\pi m\theta_0} - \frac{\sqrt{\lambda d}}{\sqrt{2}\pi}. \quad (19)$$

Оценим эту погрешность. Если, например, толщину объекта  $d$  выбрать 1 мм, длину волны света  $\lambda = 0,5$  мкм, а размер  $D = 5$  мм, то в этом случае размер зоны Френеля  $\delta_d = \sqrt{\lambda d} \approx 22$  мкм,  $\theta_{\text{кр}} = \sqrt{\lambda/d} = 0,01$ , а  $\theta_D = \lambda/D = 10^{-4}$ . Выберем далее половинную апертуру системы  $\theta_0 = \theta_{\text{кр}}/3 = 3 \cdot 10^{-3}$  ( $0,2^\circ$ ). В этом случае параметр  $m = \theta_0/\theta_D = 30$ . В результате составляющие погрешности равны:  $2\varepsilon_D = -0,44$  мкм,  $2\varepsilon_d = -5$  мкм. Таким образом, результирующая погрешность составляет  $\varepsilon_{\text{общ}} = -5,44$  мкм. Видно, что при выбранных параметрах основной вклад в погрешность даёт составляющая  $2\varepsilon_d$ .

Рассмотрим далее дифракционно-ограниченное изображение передней грани  $\hat{f}_{\omega_0}(\tilde{x})$  объекта в виде канального отверстия. Его распределение можно получить, если сделать сверку его идеального изображения (8) с импульсным откликом дифракционно-ограниченной оптической системы  $h_{\omega_0}(\tilde{x})$ :

$$\hat{f}_{\omega_0}(\tilde{x}) = D e^{-j\tilde{x}^2/2d} \frac{\sin(k\tilde{x}^2 D/2d)}{\pi\tilde{x}} \otimes \frac{\sin(\omega_0\tilde{x})}{\pi\tilde{x}}. \quad (20)$$

Если теперь полагать, что апертура  $\theta_0 \gg D/d$  и одновременно  $\theta_0 \gg \theta_{\text{кр}} = \sqrt{\lambda/d}$ , то отклик  $h_{\omega_0}(\tilde{x})$  можно рассматривать как дельта-функцию по отношению к фазовой и амплитудной компонентам функции  $\hat{f}(\tilde{x})$ . В этом случае поле  $f_{\omega_0}(\tilde{x})$  совпадает с распределением (8) (см. рис. 4, *b*):

$$\hat{f}_{\omega_0}(\tilde{x}) = D e^{-j\tilde{x}^2/2d} \frac{\sin(k\tilde{x}^2 D/2d)}{\pi\tilde{x}}.$$

Это распределение имеет периодическую структуру с расстоянием между минимумами  $\Delta_D = \lambda d/D$ .

Применительно к размерному контролю интерес представляет нахождение геометрического параметра  $D$  (ширины щелевой апертуры) путём обработки поля  $\hat{f}_{\omega_0}(\tilde{x})$ . Из последнего выражения для  $\Delta_D$  следует, что  $D = \lambda d/\Delta_D$ . Оценим  $\Delta_D$  и  $D$  при следующих

значениях параметров канального отверстия:  $d = 50$  мкм,  $\lambda = 0,5$  мкм,  $D = 0,3\sqrt{\lambda d}$ , откуда следует, что  $D = 47$  мкм, а  $\Delta_D = 0,53$  мм. Используя современные средства фоторегистрации на базе многоэлементных приёмников, параметр  $\Delta_D$  может быть определён с высокой точностью (погрешность порядка 0,1 %). А это означает, что абсолютная погрешность определения параметра  $D$  может составлять 0,05–0,1 мкм.

**Формирование дифракционно-ограниченного изображения задней грани объёмной абсолютно поглощающей симметричной щели.** Рассмотрим теперь особенности формирования изображения задней грани абсолютно поглощающего симметричного отверстия в дифракционно-ограниченной проекционной системе. В этом случае поле  $g_{\omega_0}(\tilde{x}_1)$  в изображении задней грани (плоскость  $P_4$ ) определяется интегралом свёртки функции (6) с импульсным откликом системы  $h_{\omega_0}(x_1) = \mathfrak{F}^{-1}\{\text{Rect}(\omega/2\omega_0)\} = \sin(\omega_0 x_1)/(\pi x_1)$  ( $\mathfrak{F}^{-1}\{\cdot\}$  — оператор обратного преобразования Фурье):

$$\begin{aligned} \hat{g}_{\omega_0}(\tilde{x}_1) &= E_0 \left[ \widetilde{\text{Rect}}_d \left( \frac{\tilde{x}_1}{D} \right) \text{Rect} \left( \frac{\tilde{x}_1}{D} \right) \right] \otimes \frac{\sin(\omega_0 \tilde{x}_1)}{\pi \tilde{x}_1} = \\ &= E_0 \int_{-\infty}^{+\infty} \widetilde{\text{Rect}} \left( \frac{x_1}{D} \right) \text{Rect} \left( \frac{x_1}{D} \right) \frac{\sin[\omega_0(\tilde{x}_1 - x_1)]}{\pi(\tilde{x}_1 - x_1)} dx_1. \end{aligned} \quad (21)$$

Здесь  $g_{\omega_0}(\tilde{x}_1)$  — ненормированное (на  $E_0$ ) распределение поля.

Изучим поведение поля при различных соотношениях углового размера  $2\theta_0$  апертурного фильтра и критического угла дифракции  $\theta_{\text{кр}}$ . В случае малой объёмности при  $\theta_0 \ll \theta_{\text{кр}}$  ( $N = \theta_{\text{кр}}/\theta_0 \gg 1$ ), когда объёмные эффекты выражены слабо вследствие того, что глубина резкости системы  $\Delta z = \lambda/\theta_0^2$  много больше толщины объекта  $d$  ( $\Delta z \gg d$ ), поле  $\hat{g}_{\omega_0}(\tilde{x}_1)$  в плоскости изображения задней грани незначительно отличается от полученного ранее поля  $\hat{f}_{\omega_0}(\tilde{x})$  в изображении передней грани (см. (15)):

$$\begin{aligned} \frac{\hat{g}_{\omega_0}(\tilde{x}_1)}{E_0} &= \Phi_{\omega_0}(\tilde{x}_1 + 0,5D) - \Phi_{\omega_0}(\tilde{x}_1 - 0,5D) - \\ &- \frac{e^{j\pi/4}\sqrt{\lambda d}}{2\pi} \frac{\sin[\omega_0(\tilde{x}_1 - 0,5D)]}{\pi(\tilde{x}_1 - 0,5D)} - \frac{e^{j\pi/4}\sqrt{\lambda d}}{2\pi} \frac{\sin[\omega_0(\tilde{x}_1 + 0,5D)]}{\pi(\tilde{x}_1 + 0,5D)}. \end{aligned} \quad (22)$$

Исследуем далее в аналитическом виде поведение поля  $\hat{g}_{\omega_0}(\tilde{x}_1)$  в случае сильной объёмности, при которой глубина фокусировки системы  $\Delta z$  много меньше толщины объекта  $d$ . В этом случае характерный размер импульсного отклика системы  $\Delta = \lambda/\theta_0$  много меньше размера зоны Френеля:  $\Delta = \lambda/\theta_0 \ll \delta_d = \sqrt{\lambda d}$ , т. е.  $\theta_0 \gg \theta_{\text{кр}}$  ( $N \ll 1$ ). Фактически импульсный отклик  $h_{\omega_0}(\tilde{x}_1)$  ведёт себя по отношению к распределению (6) как «дельта-функция конечного размера», что позволяет функцию  $\widetilde{\text{Rect}}_d(x_1/D)$  вынести из подынтегрального выражения (21):

$$\begin{aligned} \hat{g}_{\omega_0}(\tilde{x}_1) &= E_0 \widetilde{\text{Rect}}_d \left( \frac{\tilde{x}_1}{D} \right) \int_{-\infty}^{+\infty} \text{Rect} \left( \frac{x_1}{D} \right) \frac{\sin[\omega_0(\tilde{x}_1 - x_1)]}{\pi(\tilde{x}_1 - x_1)} dx_1 = \\ &= E_0 \widetilde{\text{Rect}}_d \left( \frac{\tilde{x}_1}{D} \right) [\Phi_{\omega_0}(\tilde{x}_1 + 0,5D) - \Phi_{\omega_0}(\tilde{x}_1 - 0,5D)]. \end{aligned} \quad (23)$$

Таким образом, поле в изображении задней грани при  $\theta_0 \gg \theta_{кр}$  является результатом перемножения двух распределений, соответствующих френелевской картине  $\widetilde{\text{Rect}}_d(x_1/D)$  щели и дифракционному изображению плоской щели  $(\Phi_{\omega_0}(x_1 + 0,5D) - \Phi_{\omega_0}(x_1 - 0,5D))$ . Это означает, что влияние объёмности на поле (23) полностью определяется поведением функции  $\widetilde{\text{Rect}}_d(x_1/D)$  — френелевского образа прямоугольной функции  $\text{Rect}(x/D)$ , описывающей пропускание входной щели.

Что касается распределения интенсивности света в изображении задней грани в рассматриваемом случае сильных объёмных эффектов ( $N = \theta_{кр}/\theta_0 \ll 1$ ), то согласно выражению (22) это распределение имеет вид

$$\hat{I}_{\omega_0}(\tilde{x}_1) = I_0 |\hat{g}_{\omega_0}(\tilde{x}_1)|^2 = I_0 |\widetilde{\text{Rect}}_d(x_1/D_1)|^2 |\Phi_{\omega_0}(\tilde{x}_1 + 0,5D) - \Phi_{\omega_0}(\tilde{x}_1 - 0,5D)|^2. \quad (24)$$

Напоминаем, что  $I_0$  — интенсивность освещающей объект волны.

Отметим, что поле (22) может быть представлено в аналитическом виде, если воспользоваться конструктивной аппроксимацией функции  $\widetilde{\text{Rect}}_d(x_1/D) = \tilde{Y}_d(\tilde{x}_1 + 0,5D) - \tilde{Y}_d(\tilde{x}_1 - 0,5D)$  [8, 9]. В этом случае аппроксимированная функция  $\widetilde{\text{Rect}}_d^{\text{ан}}(x_1/D)$  имеет следующий вид:

$$\begin{aligned} \widetilde{\text{Rect}}_d(\tilde{x}_1/D) &= \tilde{Y}_d(\tilde{x}_1 + 0,5D) - \tilde{Y}_d(\tilde{x}_1 - 0,5D) \approx \text{Rect}_d^{\text{ан}}(\tilde{x}_1/D) = \text{Rect}(\tilde{x}_1/D) - \\ &- \frac{0,5e^{jk(\tilde{x}_1+0,5D)^2/2d}}{\alpha e^{-j\pi/4}(\tilde{x}_1 + 0,5D)/\sqrt{\lambda d} + \text{sgn}(\tilde{x}_1 + 0,5D)} + \\ &+ \frac{0,5e^{jk(\tilde{x}_1-0,5D)^2/2d}}{\alpha e^{-j\pi/4}(\tilde{x}_1 - 0,5D)/\sqrt{\lambda d} + \text{sgn}(\tilde{x}_1 - 0,5D)}, \end{aligned} \quad (25)$$

где параметр  $\alpha$  в зависимости от рассматриваемого диапазона меняется в пределах  $2 \leq \alpha \leq \pi$ . Подставляя выражение для  $\widetilde{\text{Rect}}_d^{\text{ан}}(x_1/D)$  в (24), нетрудно получить в аппроксимированном виде выражение для интенсивности света в изображении задней грани

$$\hat{I}_{\omega_0}(\tilde{x}_1) \approx \hat{I}_{\omega_0}^{\text{ан}}(\tilde{x}_1) = I_0 |\widetilde{\text{Rect}}_d^{\text{ан}}(\tilde{x}_1/D)|^2 |\Phi_{\omega_0}(\tilde{x}_1 + 0,5D) - \Phi_{\omega_0}(\tilde{x}_1 - 0,5D)|^2. \quad (26)$$

Найдём значение интенсивности света в граничных точках  $\tilde{x}_1 = \pm 0,5D$ . Выберем размер отверстия  $D \gg \sqrt{\lambda d}$  ( $M \gg 1$ ). Поскольку параметр  $\theta_0 \gg \theta_{кр} = \sqrt{\lambda/d}$  ( $N = \theta_{кр}/\theta_0 \ll 1$ ), то в этом случае множители в точках  $x_1 = \pm 0,5D$  равны 0,25, а результирующая нормированная интенсивность составляет 6,25 % от интенсивности освещающей объект волны. Отсюда следует, что для определения положения границ протяжённой щели (исходя из изображения её задней грани) следует выбрать порог  $I_{\text{пор}} = 0,062I_0$ .

Изучим далее структуру поля  $\hat{g}_{\omega_0}(\tilde{x}_1)$  в дифракционно-ограниченном изображении задней грани канального отверстия, у которого, как уже отмечалось, апертура  $D$  много меньше зоны Френеля, т. е.  $D \ll \sqrt{\lambda d}$ . Согласно выражению (11) это поле в дифракционно-ограниченной системе вычисляется следующим образом:

$$\hat{g}_{\omega_0}(\tilde{x}_1) \approx E_0 e^{j(k\tilde{x}_1^2/2d - j\pi/4)} \frac{D}{\sqrt{\lambda d}} \left\{ \left[ 1 - \frac{1}{6} \left( \frac{k\tilde{x}_1 D}{2d} \right)^2 \right] \text{Rect} \left( \frac{\tilde{x}_1}{D} \right) \right\} \otimes \sin \left( \frac{\omega_0 \tilde{x}_1}{\pi \tilde{x}_1} \right), \quad (27)$$

где  $2\omega_0$  — ширина полосы пропускаемых низкочастотным фильтром частот.

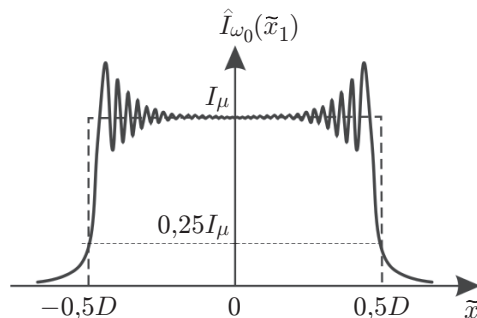


Рис. 6. Распределение интенсивности света  $\hat{I}_{\omega_0}(\tilde{x}_1)$  в дифракционно-ограниченном изображении задней грани канального отверстия шириной  $D$  и глубиной  $d$  ( $D \ll \sqrt{\lambda d}$ ) при сильных объёмных эффектах ( $\theta_0 \gg \theta_{кр}$ ),  $I_\mu = \mu I_0$  ( $\mu = D^2/(\lambda d) \ll 1$ ) — интенсивность волны, освещающей заднюю грань

Выберем далее апертуру фильтра  $2\theta_0$  такой, чтобы характерный размер импульсного отклика  $\Delta \sim 2\pi/\omega_0 = \lambda/\theta_0$  был много меньше характерного размера  $\Delta_D$  функции  $\sin t/t$  ( $t = kxD/2d$ ), равного  $\Delta_D \sim \lambda d/D$ , что имеет место при  $\theta_0 \gg D/d$ . В этом случае импульсный отклик  $h_{\omega_0}(\tilde{x}_1)$  ведёт себя по отношению к медленным функциям  $\sin z/z$  и  $e^{jk\tilde{x}_1^2 d/2d}$  как дельта-функция Дирака, что позволяет их вынести из подынтегрального выражения (27):

$$\hat{g}_{\omega_0}(\tilde{x}_1) \approx E_0 e^{j(k\tilde{x}_1^2/2d - j\pi/4)} \frac{D}{\sqrt{\lambda d}} \left[ 1 - \frac{1}{6} \left( \frac{k\tilde{x}_1 D}{2d} \right)^2 \right] [\Phi_{\omega_0}(\tilde{x}_1 + 0,5D) - \Phi_{\omega_0}(\tilde{x}_1 - 0,5D)]. \quad (28)$$

Отсюда следует, что интенсивность света в изображении задней грани канального отверстия изменяется по закону

$$\hat{I}_{\omega_0}(\tilde{x}_1) = |\hat{g}_{\omega_0}(\tilde{x}_1)|^2 = \mu I_0 \left[ 1 - \frac{1}{3} \left( \frac{k\tilde{x}_1 D}{2d} \right)^2 \right] [\Phi_{\omega_0}(\tilde{x}_1 + 0,5D) - \Phi_{\omega_0}(\tilde{x}_1 - 0,5D)]^2, \quad (29)$$

где коэффициент  $\mu = D^2/(\lambda d) \ll 1$ .

Как уже отмечалось, при ширине щелевой диафрагмы  $D \ll \sqrt{\lambda d}$  (случай дифракции Фраунгофера) изменение распределения  $\sin(k\tilde{x}_1 D/2d)/(k\tilde{x}_1 D/2d)$  (соответствующего дифракции света на передней щели) в пределах выходной щели пренебрежимо мало (десятые доли процента), и, таким образом, его влияние на выбор значения порога для определения положения границ выходной щели можно не учитывать. В этом случае его следует выбрать  $I_{пор} = 0,25I_\mu$ , где  $I_\mu = \mu I_0$  ( $\mu = D^2/(\lambda d) \ll 1$ ) — интенсивность волны, освещающей заднюю грань. Вследствие дифракции Фраунгофера эта интенсивность заметно меньше интенсивности волны  $I_0$  на входе объекта.

В качестве примера на рис. 6 приведён типичный профиль интенсивности света  $|\hat{g}_{\omega_0}(\tilde{x}_1)|^2$  в плоскости изображения задней грани. Он практически совпадает с профилем дифракционно-ограниченного изображения плоской щели ( $d = 0$ ) шириной  $D$ .

**Заключение.** В данной работе изучены особенности формирования изображений граней протяжённых щелевых отверстий постоянной толщины симметричного типа с абсолютно поглощающими внутренними гранями в идеальной (абберации и ограничивающие диафрагмы отсутствуют) и дифракционно-ограниченных системах. У таких объектов размеры входной (передней) и выходной (задней) апертур одинаковы, при этом апертуры центрированы. В основу расчётов положена оптико-физическая модель дифракционных явле-

ний на протяжённых абсолютно поглощающих объектах с использованием эквивалентных транспарантов щелевого типа, отстоящих на расстоянии, равном толщине  $d$  объекта.

Установлено, что в идеальном случае поле в изображении передней грани протяжённого объекта эквивалентно полю, формируемому в пространственно-неинвариантной системе на основе проекционного объектива с ограниченной апертурой, роль которой выполняет задняя грань щелевого отверстия.

Исследована структура дифракционно-неограниченных изображений передней и задней граней для отверстий канального типа, у которых размер  $D \ll \delta_d$ , где  $\delta_d = \sqrt{\lambda d}$  — размер зоны Френеля. Показано, что в этом случае поле в изображении передней грани соответствует дифракции Фраунгофера в свободном пространстве на расстоянии  $d$ . Что касается поля в изображении задней грани, то оно имеет форму, близкую к прямоугольной.

Изучена структура изображений передней и задней граней, формируемых в дифракционно-ограниченной системе. Установлено, что профили изображений в значительной степени зависят от параметра  $N$ , равного отношению критического угла дифракции  $\theta_{кр} = \sqrt{\lambda/d}$  к половинному угловому размеру апертурного фильтра  $\theta_0$ . Показано, что при  $N = \theta_{кр}/\theta_0 \gg 1$  (случай малых объёмных эффектов) профили изображений граней объекта близки друг к другу и во многом напоминают дифракционные изображения плоской щели. Установлено, что при определении размера апертуры  $D$  протяжённого объёма путём обработки его изображения стандартным пороговым алгоритмом могут возникать систематические погрешности, обусловленные как взаимодействием дифракционных картин краёв в случае плоского объекта ( $d = 0$ ), так и влиянием вторичной дифракции света на задней грани. Показано также, что при  $D \gg \sqrt{\lambda d}$  основной вклад в погрешность даёт вторая составляющая, равная  $0,22\sqrt{\lambda d}$ .

Исследованы особенности формирования дифракционно-ограниченных изображений задней грани при сильных объёмных эффектах ( $N \ll 1$ ), т. е. когда глубина резкости системы много меньше толщины объекта ( $\theta_0 \gg \theta_{кр} = \sqrt{\lambda/d}$ ). Установлено, что поле в изображении задней грани можно представить в виде произведения двух полей, одно из которых соответствует дифракционной картине Френеля на передней апертуре, а второе — дифракционному изображению плоской щели. Изучена структура полей в дифракционно-ограниченном изображении канального отверстия. Предложены алгоритмы нахождения размера его апертуры.

Полученные результаты могут быть использованы при разработке оптико-электронных систем прецизионного размерного контроля объектов типа пластин.

**Благодарность.** Автор выражает благодарность Е. С. Арсениной и Е. В. Сергееву за техническую помощь при подготовке данной работы.

**Финансирование.** Работа выполнена при поддержке Министерства науки и высшего образования РФ (государственная регистрация № АААА-А17-117121270018-3).

## СПИСОК ЛИТЕРАТУРЫ

1. Борн М., Вольф Э. Основы оптики. М.: Мир, 1970. 720 с.
2. Гудмен Дж. Введение в Фурье-оптику. М.: Мир, 1970. 364 с.
3. Ваганов Р. Б., Кацеленбаум Б. З. Основы теории дифракции. М.: Наука, 1982. 272 с.
4. Потехин А. И. Некоторые задачи дифракции электромагнитных волн. М.: Сов. радио, 1948. 134 с.
5. Уфимцев П. Я. Метод краевых волн в физической теории дифракции. М.: Сов. радио, 1962. 244 с.
6. Боровиков В. А., Кинбер Б. Е. Геометрическая теория дифракции. М.: Связь, 1978. 248 с.

7. Хёнл Х., Мауэ М., Вестпфаль К. Теория дифракции. М.: Мир, 1964. 428 с.
8. Кривенков Б. Е., Чугуй Ю. В. Дифракция Фраунгофера на телах постоянной толщины // Автометрия. 1987. № 3. С. 79–92.
9. Chugui Yu. V., Krivenkov B. E. Fraunhofer diffraction by volumetric bodies of constant thickness // JOSA. 1989. 6, N 5. P. 617–626.
10. Чугуй Ю. В. Определение геометрических параметров протяжённых объектов постоянной толщины по их дифракционным картинам // Автометрия. 1991. № 6. С. 76–92.
11. Чугуй Ю. В. Фурье-оптика 3D-объектов применительно к размерному контролю // Опτικο-информационные измерительные и лазерные технологии и системы: Сб. тр. КТИ НП СО РАН. Новосибирск: Изд-во «Гео», 2012. С. 15–42.
12. Кривенков Б. Е., Чугуй Ю. В. Дифракция Фраунгофера на отражающих объёмных телах постоянной толщины // Автометрия. 1991. № 4. С. 113–118.
13. Чугуй Ю. В. Дифракционные явления на трёхмерных телах постоянной толщины и определение их геометрических параметров // 3D лазерные информационные технологии. Отв. ред. П. Е. Твердохлеб. Новосибирск: Изд-во «Офсет», 2003. С. 428–479.
14. Чугуй Ю. В. Особенности формирования и оконтуривания изображений объёмных тел в когерентном свете // Автометрия. 1991. № 4. С. 103–112.
15. Чугуй Ю. В. Формирование в когерентном свете изображений асимметричного абсолютно отражающего края 3D-объекта // Автометрия. 2021. 57, № 3. С. 102–116. DOI: 10.15372/AUT20210312.
16. Чугуй Ю. В. Дифракционные явления на протяжённой асимметричной щели с абсолютно поглощающими внутренними гранями // Автометрия. 2022. 58, № 1. С. 54–67. DOI: 10.15372/AUT20220107.
17. Сороко Л. М. Основы голографии и когерентной оптики. М.: Наука, 1971. 616 с.
18. Папулис А. Теория систем и преобразований в оптике. М.: Мир, 1971. 495 с.

*Поступила в редакцию 26.04.2022*

*После доработки 16.05.2022*

*Принята к публикации 18.05.2022*

---